

# ОРИГИНАЛЬНЫЕ СТАТЬИ

© В.К. Хугаева, 2014  
УДК 616-16

В.К. Хугаева

## Микрососуды и тучные клетки в динамике экспериментальных гипертоний

УРАМН НИИ общей патологии и патофизиологии РАМН, 125315, Москва, ул. Балтийская, 8

В динамике экспериментальной почечной и гормональной гипертонии у крыс прослежено изменение таких параметров как артериальное давление (*АД*), angiogenesis на уровне микросудов брыжейки тонкой кишки, численность тучных клеток (*ТК*), окружающих микросуды. При одинаковом увеличении *АД* имелись качественные и количественные различия angiogenesis в микросудах брыжейки при почечной и гормональной гипертонии. Общим было наибольшее новообразование ветвей в микросудах с наименьшим диаметром (12–19 мкм) при гипертониях по сравнению с контролем. Реакция *ТК* зависела от вида артериальной гипертонии. Структурные изменения микроциркуляторного русла брыжейки тонкой кишки крысы зависят не только от увеличения *АД*, но и отражают особенности патогенеза каждого вида гипертонии.

**Ключевые слова:** гипертония почечная и гормональная, микросуды, биомикроскопия, angiogenesis, тучные клетки, брыжейка тонкой кишки, крысы

V.K. Khugaeva

## *Microvessels and mast cells in the dynamics of experimental hypertension*

Institute of General Pathology and Pathophysiology RAMS, 8, Baltiyskaya str., Moscow, 125315, Russia

*In the dynamics of the experimental renal and hormonal hypertension in rats tracked change parameters such as blood pressure (*BP*), angiogenesis in microvessels of mesentery in small intestine, the number of mast cells (MC) surrounding microvessels. The same increase in *BP* there were qualitative and quantitative differences of angiogenesis in microvessels of mesentery in renal and hormonal hypertension. Overall it was the largest new form microvessels in branches with the smallest diameter (12–19 mkm) at hypertension compared with controls. MC response depended on the type of arterial hypertension. Structural changes of microcirculatory bed of mesentery in the small intestine of the rat depend not only on increased *BP*, but also reflect the characteristics of the pathogenesis of hypertension.*

**Key words:** renal and hormonal hypertension, microvessels, biomicroscopy, angiogenesis. Mast cells, mesentery of small intestine, rat

Неотъемлемым компонентом микроциркуляторного русла являются тучные клетки (*ТК*), которые локализуются около кровеносных микросудов. Показано, что наибольшее число *ТК* располагается вдоль лимфатических микросудов [1]. *ТК* обладают не только полиморфизмом, но и полифункциональностью [16], что объясняется содержанием большого числа (более 35) биологически активных веществ в гранулах *ТК* [2, 3, 7, 16]. Наличие связи *ТК* с пептидергическими нервыми волокнами предполагает возможность их участия в angiogenesis [15, 18]. Они участвуют в регуляции кровяного давления, кровотока в микросудах, сосудистой проходимости [6, 10, 12] и многих патологических процессов протекающих в организме, включая аллергию, воспаление, травму [6, 13]. В последние десятилетия появилось значительное число работ, посвященных роли

*ТК* в патологии. Например, разрыв атеросклеротической бляшки в коронарной артерии связывают с присутствием не только активированных макрофагов и Т-лимфоцитов, но и влиянием *ТК* [17]. *ТК* рассматриваются в качестве ключевого звена в адаптивных и патологических процессах [6]. Секреция *ТК* катехоламинов при стимуляции постганглионарных адренергических аксонов рассматривается в качестве механизма регуляции адренорецепторов гладких миоцитов бронхов и сосудов [4]. Показано, что *ТК* способствуют ремоделированию сосудов легких при легочной гипертензии [14]. Артериальные гипертензии сопровождаются увеличением роста сосудистой сети [9].

Цель исследования — изучение реакции тучных клеток в процессе развития в условиях биомикроскопии, что могло бы дополнить ранее проведенные исследования при артериальной гипертензии с помощью косвенного метода (лазерная допплеровская флюметрия) [8], не позволяющего количественно оценить в динамике *ТК* и микросудистое русло.

**Для корреспонденции:** Хугаева Валентина Каргояевна, д.м.н., главный науч. сотр. ФГБУ НИИ ОГП РАМН, 125315, Балтийская ул., 8, лаборатория хронического воспаления и микроциркуляции. E-mail: vhugaeva@mail.ru

### Методика

Эксперименты выполнены на 150 беспородных белых крысах-самцах с первоначальной массой 100—150 г. Почечную экспериментальную гипертонию вызывали по методу Goldblat (1934 г.) в модификации А.Х. Когана (1962 г.) [5]. Операцию проводили в 2 этапа под эфирным наркозом: наложение сосудосуживающей спирали на левую почечную артерию; через 15—20 сут. после первой операции проводили правостороннюю нефрэктомию. Гормональную экспериментальную гипертонию вызывали методом Selye (1943 г.). Через 8—20 сут. после левосторонней нефрэктомии в течение 30 сут. крысам ежедневно вводили внутримышечно 0,5% масляный раствор дезоксикортикоэстера-ацетата (ДОКСА) по 5—10 мг. Одновременно с ДОКСА животные получали в качестве питья 2% раствор поваренной соли.

Артериальное давление (АД) измеряли бескровным способом по методу Н.С. Короткова без наркоза на хвосте крысы с помощью пьезодатчика нашей модификации [11]. Инвазивное измерение АД осуществляли в левой общей сонной артерии и в основной хвостовой артерии с целью сравнения с результатами, полученными при измерении бескровным методом. Приживленное изучение микрососудов и тучных клеток брыжейки тонкой кишки крысы проводили методом биомикроскопии [12] в острых опытах с использованием уретанового наркоза в дозе 1,6 г/кг массы животного. Тучные клетки в приживленных условиях выявляли при окраске 0,05% раствором толуидинового синего и на гистологических препаратах брыжейки после окончания опыта по методу Фалька (1965 г.). Статистическую обработку данных проводили с помощью программы Statistica 5.5. Парные межгрупповые и внутригрупповые сравнения средних определяли по критериям Уилкоксона.

### Результаты и обсуждение

Артериальное давление у контрольных животных, измеренное бескровным способом без наркоза, составляло  $95,0 \pm 3,6$  мм рт.ст., у крыс с гипертонией  $130,0 \pm 5,6$  мм рт.ст. ( $p < 0,01$ ). Легкий эфирный наркоз не влияет на уровень АД в контрольной группе ( $95,0 \pm 7,1$  мм рт.ст.), а у крыс с гипертонией ( $115,0 \pm 4,9$  мм рт.ст.) снижает АД на 12% ( $p < 0,05$ ). Уретановый наркоз снижал АД в контрольной группе на 24%. При кровавом способе измерения АД в хвостовой артерии в условиях уретанового наркоза получены результаты не отличающиеся от данных, полученных при измерении АД бескровным методом. В связи с изложенным, АД измеряли в дальнейшем без наркоза, бескровным методом на хвосте крысы без обогрева.

В ранние сроки (7 сут.) при почечной гипертонии отмечен подъем АД на 48%, при гормональной гипертонии — на 42%. В дальнейшем на этом уровне оно сохранялось на протяжении эксперимента.

Сравнение морфологических изменений микроциркуляторного русла брыжейки, возникших в процессе развития экспериментальных гипертоний, с контрольными наблюдениями показало следующее: по данным гистологических препаратов в контроле в поле зрения микроскопа при увеличении  $\times 1000$  насчитывается в среднем  $0,7 \pm 0,2$  артериолярных микрососудов, при почечной гипертонии  $1,5 \pm 0,3$  ( $p > 0,05$ ), при гормональной  $2,3 \pm 0,4$  ( $p < 0,05$ ) микрососуда диаметром около 20 мкм. Такая же закономерность отмечена для микрососудов с диаметром около 200 мкм. В контроле насчитывалось  $2,3 \pm 0,4$  сосуда в поле зрения микроскопа при увеличении 25 $\times$ , при почечной гипертонии —  $3,5 \pm 0,6$  ( $p > 0,05$ ), при гормональной —  $14,1 \pm 0,8$  ( $p < 0,001$ ). Только при гормональной гипертонии развитие микросудистой сети было больше выражено по сравнению с сосудами контрольных животных.

Естественно, возникает вопрос, за счет каких звеньев сосудистого русла происходит его увеличение.

В связи с поставленной целью приживленно определяли степень разветвленности артериол диаметром от 12 до 45 мкм, которые разделили на 4 группы в зависимости от величины диаметра (табл. 1). Результаты исследования показали, что у контрольных крыс от артериол ответвляется от 5 до 11 ветвей меньшего диаметра, при почечной гипертонии 7—15 и при гормональной 10—12 ветвей. В контрольных опытах число ответвлений возрастало с увеличением диаметра микрососудов от 12 до 30 мкм и далее сохранялось максимальное значение. При почечной гипертонии наибольшая разветвленность отмечена в сосудах меньшего диаметра (12—25 мкм). При гормональной гипертонии имела место одинаковая разветвленность в исследуемых сосудах различного диаметра, но значимое отличие и увеличение по сравнению с контролем имели только микрососуды с наименьшим диаметром (12—19 мкм).

Обращает на себя внимание один факт — это снижение разветвленности более крупных сосудов (26—46 мкм) при почечной гипертонии по сравнению с контрольными результатами, что указывает на снижение васкуляризации брыжейки этими сосудами. Подобные изменения могли стать компенсаторной реакцией на наибольшее увеличение числа разветвлений в микрососудах с диаметром 20—25 мкм при почечной гипертонии.

Таблица 1

Разветвленность артериол в контроле и при гипертонии (почечной и гормональной)  
в брыжейке тонкой кишки крысы, по данным биомикроскопии

Диаметр артериол, мкм	Число ответвляющихся микрососудов					
	Контроль		Гипертония			
	n	1	n	2	n	3
12–19 p	10	5,44 ± 1,05	10	10,33 ± 0,19 $p_{1-2} < 0,02$	10	12,22 ± 0,58 $p_{1-3} < 0,01$
20–25 p	10	7,83 ± 1,73	10	15,11 ± 0,58 $p_{1-2} < 0,01$	10	10,51 ± 1,63 $p_{1-3} > 0,1$
26–30 p	10	11,11 ± 0,36	10	9,56 ± 0,28 $p_{1-2} < 0,02$	10	11,33 ± 0,31 $p_{1-3} > 0,1$
31–45 p	10	11,14 ± 0,43	10	7,47 ± 0,58 $p_{1-2} < 0,02$	10	11,45 ± 0,32 $p_{1-3} > 0,1$

Примечание. Здесь и в табл. 2: p — значимость различий между группами (указаны цифрами); n — число измеренных сосудов

В контроле петли брыжейки тонкой кишки крысы радиальными артериями и венами разделены на прозрачные «оконца». Микрососуды располагаются преимущественно на периферии «оконца» (рис. 1), а в его центре часто встречается безсосудистая зона. Нередко встречаются целые петли брыжейки, лишенные микрососудов. При гипертонии (почечной и гормональной) во всех петлях брыжейки обнаруживали микрососуды. При почечной гипертонии микрососуды равномерно располагались по всей поверхности «оконца» (рис. 2), при гормональной — густая сеть сосудов сосредотачивалась на периферии «оконца» (рис. 3) и образовывала своеобразные скопления в виде капиллярных клубочков (рис. 4). При экспериментальных гипертониях увеличивалась волнообразная извилистость микрососудов.

Увеличение микрососудистой сети в брыжейке кишки при гипертонии возникает за счет включения в кровоток ранее не функционировавших микрососудов (метартериол, прекапилляров, капилляров, посткапилляров, артериоло-венуллярных анастомозов) вследствие увеличения длины сосудов при их волнообразном изменении и в результате новообразования. Увеличение количества и площади микрососудистого русла является реакцией органа-депо крови, направленную на уменьшение внутрисосудистого давления и усиление транскапиллярного обмена в условиях гипертонии. Вовлечение в этот процесс микрососудов диаметром 12–25 мкм в течение первых 7 сут. повышенного уровня АД свидетельствует о быстрой изменчивости и приспособляемости к изменяющимся условиям гемодинамики терминального сосудистого русла.

Увеличение микрососудистого русла при почечной и гормональной артериальной гипертонии сопровождалось увеличением численности тучных клеток

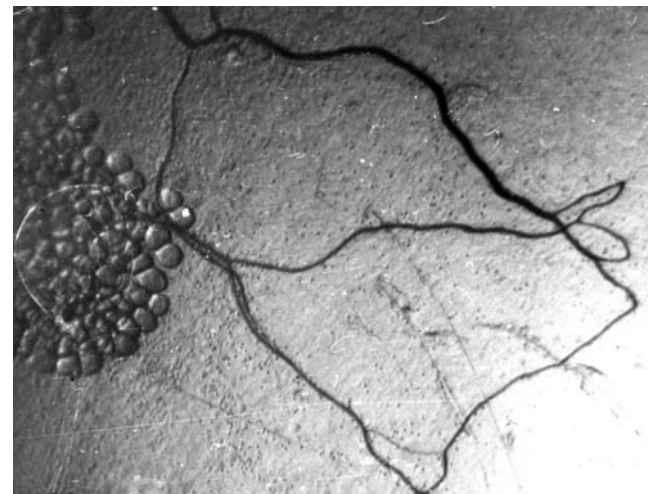


Рис. 1. Микрососудистая сеть брыжейки тонкой кишки крысы в контроле. Биомикроскопия. Увеличение: об.х2,5, ок.х3.

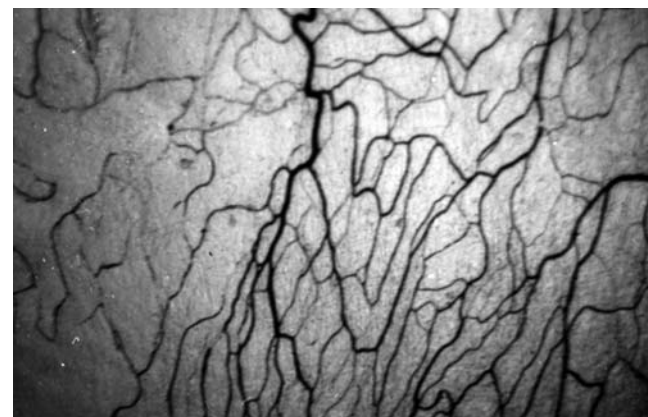


Рис. 2. Развитие микрососудистой сети брыжейки тонкой кишки крысы при почечной артериальной гипертонии. Биомикроскопия. Увеличение: об.х2,5, ок.х3.

Таблица 2

Число тучных клеток в контроле и в динамике гипертонии (почечной и гормональной)  
в брыжейке тонкой кишки крысы, по данным биомикроскопии

Срок гипертонии, сут.	Число тучных клеток*					
	Контроль		Гипертония			
			Почечная		Гормональная	
n	1	n	2	n	3	
7	30	$8,94 \pm 0,46$	15	$6,41 \pm 0,68$ $p_{1-2} < 0,01$	30	$19,24 \pm 3,84$ $p_{1-3} < 0,01$ $p_{2-3} < 0,01$
			15	$8,62 \pm 1,27$ $p_{1-2} > 0,1$	30	$15,75 \pm 0,61$ $p_{1-3} < 0,01$ $p_{2-3} < 0,01$
			15	$10,16 \pm 1,06$ $p_{1-2} > 0,1$	30	$16,63 \pm 2,48$ $p_{1-3} < 0,01$ $p_{2-3} > 0,05$
			15	$14,22 \pm 1,65$ $p_{1-2} < 0,01$	30	$18,11 \pm 2,21$ $p_{1-3} < 0,01$ $p_{2-3} > 0,05$

Примечание. \* — тучные клетки считали в поле зрения микроскопа при увеличении: об. x40, ок. x8; n — число просмотренных полей зрения

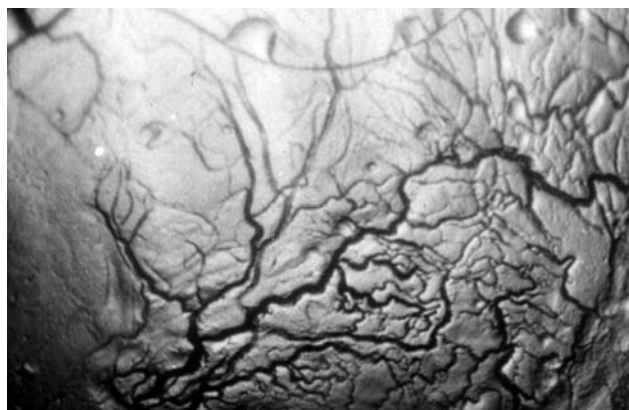


Рис. 3. Развитие микрососудистой сети брыжейки тонкой кишки крысы при гормональной (ДОКСА) артериальной гипертонии. Биомикроскопия. Увеличение: об.x2,5, ок.x3.



Рис. 4. Капиллярный «клубочек» в брыжейке тонкой кишки крысы при гормональной (ДОКСА) артериальной гипертонии. Биомикроскопия. Увеличение: об.x40, ок.x3.

(табл. 2). Исключением было снижение количества ТК при почечной гипертонии при сроке 7 сут. по сравнению с контрольными результатами.

Возможной причиной дегрануляции ТК при почечной гипертонии является реакция на стресс, который вызвали две перенесенные животными операции (наложение спиралей на почечную артерию и удаление противоположной почки).

Быстрое и длительное увеличение числа ТК при гормональной гипертонии могло быть обусловлено влиянием ДОКСА, который является синтетическим аналогом кортикоидов.

Тучные клетки и кора надпочечников, имея общее происхождение (мезодермальный зародышевый листок), составляют единую систему реагирования. При этом ТК, по-видимому, являются тем промежуточным звеном, посредством которого реализуется влияние кортикоидов на мезенхиму.

Таким образом, можно констатировать, что при увеличении АД при почечной и гормональной экспериментальной гипертонии рост сосудистой сети в ткани брыжейки тонкой кишки крысы связан преимущественно с микрососудами с диаметром 12—19 мкм. Сосуды разного диаметра по-разному участвуют в этом процессе при почечной гипертонии и одинаково при гормональной гипертонии. Реакция ТК аналогично была различной в зависимости от срока почечной гипертонии и абсолютно стандартной при гормональной гипертонии. Реакция ТК носит дифференцированный характер в зависимости от патогенеза артериальной гипертонии, что необходимо учитывать при коррекции возникающих при гипертонии изменений.

## Список литературы

1. **Ардасенов А.В., Хугаева В.К., Александров П.Н.** Микроциркуляторное русло кожи в условиях воспаления и коррекции методом лимфостимуляции. — М.: Научный мир, 2004. — 148 с.
2. **Быков В.А.** Секреторные механизмы и секреторные продукты // Морфология. — 1999. — 115 (2). — С. 64—72.
3. **Быков В.А.** Развитие и гетерогенность тучных клеток // Морфология. — 2000. — 117 (2). — С. 86—92.
4. **Елисеева Е.В.** Регуляция функционального состояния тучных клеток медиастинальной плевры препаратаами адренергического действия // Морфология. — 2001. — 120 (3). — С. 75—80.
5. **Коган А.Х.** Воспроизведение экспериментальной гипертонии у крыс стенозированием почечных артерий // Патологическая физиология и экспериментальная терапия. — 1962. — 6 (3). — С. 79—80.
6. **Кондашевская М.В.** Тучные клетки и гепарин — ключевые звенья в адаптивных и патологических процессах // Вестник РАМН. — 2010. — 6. — С. 49—54.
7. **Омельяненко Н.П., Слуцкий Л.И.** Соединительная ткань (гистофизиология и биохимия). — М.: Известия, 2009.
8. **Федорович А.А.** Функциональное состояние регуляторных механизмов микроциркуляторного кровотока в норме и при артериальной гипертензии по данным лазерной допплеровской флюметрии // Регионарное кро-вообращение и микроциркуляция. — 2010. — Т. 9, №1 (33). — С. 49—60.
9. **Хугаева В.К.** Микроциркуляторное русло в условиях почечной и гормональной гипертонии: Автореф. дисс. на соискание ученой степени к.м.н. — М., 1976.
10. **Хугаева В.К., Ардасенов А.В.** Влияние ультрафиолетового облучения на микроциркуляторное русло кожи // Патогенез. — 2003. — 1 (2). — С. 57—61.
11. **Хугаева В.К., Чернух А.М., Александров П.Н.** Пьезоэлектрический метод регистрации артериального давления у крыс в норме и при гипертонии // Патологическая физиология и экспериментальная терапия. — 1974. — 18 (3). — С. 75—76.
12. **Чернух А.М., Александров П.Н., Алексеев О.В.** Микроциркуляция. — М.: Медицина, 1984.
13. **He S.H.** Key role of mast cells and their major secretory products in inflammatory bowel disease // World J. Gastroenterology. — 2004. — 10 (3). — P. 309—318.
14. **Hoffman J., Yin J., Kukucka M.** et al. Mast cells promote lung vascular remodeling in pulmonary hypertension // Eur. Respir. J. — 2011. — 37 (6). — P. 1400—1410.
15. **Keith J.M., Jin J., Saban R.** Nerve-mast cells interaction in normal guinea pig urinary bladder // J. Comp. Neurol. — 1995. — 363 (1). — P. 28—30.
16. **Kovanen P.T.** Mast cells in atherogenesis: actions and reactions // Curr. Atheroscler. Rep. — 2009. — 11 (3). — P. 214—219.
17. **Linstedt K.A., Leskinen M.J., Kovanen P.T.** Proteolysis of pericellular matrix: novel element determining cell survival and death in the pathogenesis of plaque erosion and purpure // Arterioscler. Thromb. Vasc. Biol. — 2004. — 24 (8). — P. 1350—1358.
18. **Nienartowicz A., Sobaniec-Kotowska M.E., Jarosca-Cyrt E., Lemancewics D.** Mast cells in neoangiogenesis // Med. Sci. Monit. — 2006. — 12 (3). — P. 53—56.

Поступила 16.04.14